

不同的配钢对 SRC 受弯构件延性的影响*

张 惠 华

(华侨大学土木工程系, 泉州 362011)

摘要 采用弯矩-曲率法分析不同形式的配钢对(劲性钢筋混凝土)SRC受弯构件截面延性的影响。并通过对一组相同面积、不同形式钢材截面延性的分析与比较, 提出了劲性钢筋混凝土受弯构件截面延性提高, 屈服强度变化不大的配钢形式。

关键词 劲性钢筋混凝土, 延性, 配钢

分类号 TU 528.571.04

劲性钢筋混凝土结构承载能力高、抗震性能好, 是一种适合在抗震地区和高层建筑中使用的经济型结构。然而如何配置钢筋与钢骨, 使构件在提高截面延性的同时, 承载力不至于降低。本文采用弯矩-曲率($M-\Phi$)法, 对相同面积、不同形式钢材的劲性钢筋混凝土受弯构件截面的 $M-\Phi$ 进行计算分析。比较其截面延性的变化规律, 提出劲性钢筋混凝土受弯构件延性良好, 屈服强度不低的配钢形式。

1 基本假定

基本假定条件如下:

- (1) 杆件截面在受力前后, 变形符合平截面假定;
- (2) 不考虑受拉区混凝土的作用;
- (3) 钢骨和钢筋均为理想的弹塑性材料, 应力-应变曲线如图1所示, 即

$$\sigma_{ss} = E_{ss}\epsilon_{ss}, \quad \epsilon_{ss} = \epsilon_y; \quad \sigma_{ss} = f_{ss}, \quad \epsilon_{ss} > \epsilon_y, \quad (1)$$

$$\sigma_s = E_s\epsilon, \quad \epsilon = \epsilon_s; \quad \sigma_s = f_s, \quad \epsilon_s > \epsilon_y, \quad (2)$$

式中 σ_{ss} , ϵ_{ss} 为钢骨的应力和应变; σ_s , ϵ_s 为钢筋的应力和应变; f_{ss} , f_s 为钢骨和钢筋的屈服强度, E_{ss} , E_s 为其弹性模量; ϵ_y , ϵ_s 为其屈服应变, 即 $\epsilon_y = f_{ss}/E_{ss}$, $\epsilon_s = f_s/E_s$;

- (4) 混凝土的应力-应变关系取用规范GBJ-89的理论曲线, 如图2所示, 即

$$\left. \begin{aligned} \sigma_c &= \sigma_0 [2 \cdot \epsilon_c/\epsilon_0 - (\epsilon/\epsilon_0)^2], & 0 < \epsilon < \epsilon_0, \\ \sigma_c &= \sigma_0, & \epsilon_0 < \epsilon < \epsilon_u, \end{aligned} \right\} \quad (3)$$

式中 σ_0 为混凝土的弯曲抗压强度, σ_c , ϵ 为混凝土的应力和应变, ϵ_u 为其极限压应变, $\epsilon_u = 0.0033$, $\epsilon_0 = 0.002$;

(5) 假定工字钢为薄壁构件;

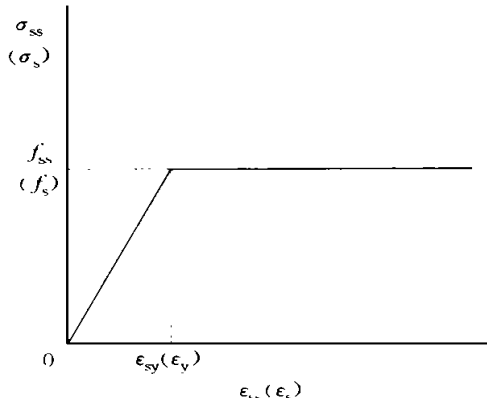


图 1 钢骨(钢筋)的应力-应变曲线

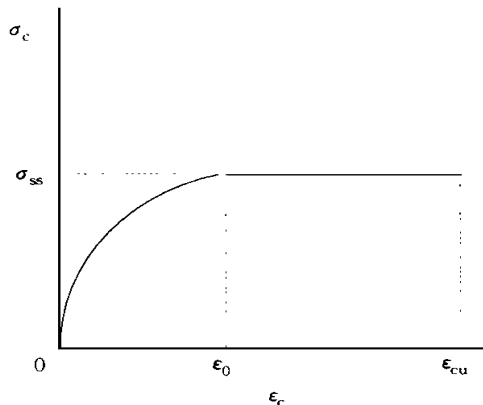


图 2 混凝土的应力-应变曲线

(6) 假定工字钢不发生局部屈曲 .

2 截面弯矩与曲率的关系

劲性钢筋混凝土受弯构件的截面尺寸, 如图 3 所示. 工字钢腹板对称布置于梁中, 其与翼缘的面积分配, 可参照同型号的工字型钢. h , b 分别为截面的高度和宽度; h_0 为受拉钢筋的合

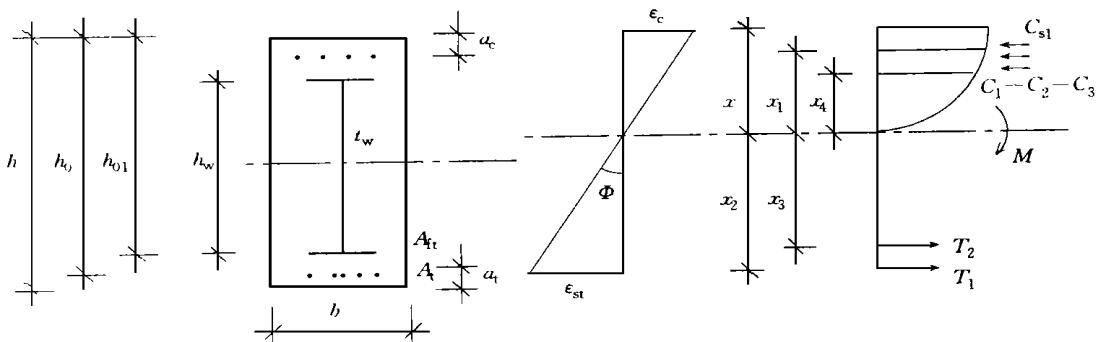


图 3 劲性钢筋混凝土截面的尺寸及应变和内力

力点至受压边缘的距离; a_e 为受拉钢筋的形心至受拉边缘的距离; a_t 为受压钢筋的形心至受压边缘的距离; A_e , A_t 为受压和受拉钢筋的面积; h_w , t_w 为工字钢腹板的高度和厚度; h_0 为钢骨受拉翼缘的形心至受压边缘的距离 $h_0 = \frac{h}{2} + \frac{h_w}{2}$; A_{fc} , A_{ft} 为工字钢受压翼缘和受拉翼缘的面积; x 为截面的受压区高度; x_1 为受压钢筋的合力点至中和轴的距离, $x_1 = x - a_e$; x_2 为受拉钢筋的合力点至中和轴的距离, $x_2 = h_0 - x$; x_3 为钢骨受拉翼缘的形心至中和轴的距离, $x_3 = h_0 - x$; x_4 为钢骨受压翼缘的形心至中和轴的距离, $x_4 = h_w - x_3$; x_5 为腹板受拉区屈服的高度, $x_5 = x_3 - f_{ss}/E_s \Phi$; ϵ_{sc} , ϵ_{st} 为钢骨的压应变和拉应变; ϵ_c , ϵ_t 为钢筋的压应变和拉应变; Φ 为截面的曲率; M 为截面承受的弯矩. $C_1 - C_2 - C_3$ 为受压区混凝土的合力, C_{s1} 为受压钢筋的合力, C_{s2} 为受压钢骨的合力, T_1 为受拉钢筋的合力, T_2 为受拉钢骨的合力.

屈服强度是构件设计强度的依据, 提高它构件的承载能力提高, 成本降低; 延性则是防止构件脆性破坏, 改善其抗震性能的重要指标。通常在钢材总面积不变的情况下, 增加受拉部分的钢材, 截面的屈服强度提高, 延性降低; 增加受压部分的钢材, 截面的延性提高, 屈服强度降低。如何布置钢筋和钢骨, 使其延性提高的同时, 承载能力不降低, 是本文将要讨论的问题。由文[1]可知要满足上述要求, 钢骨应尽量布置在截面的受拉和受压边缘。因此, 劲性钢筋混凝土受弯构件的钢筋和钢骨在弯矩作用下, 可能产生下列5种情况的屈服形式。根据力的平衡原理, 建立其平衡方程。

2.1 受拉、受压的钢筋与钢骨均未屈服

混凝土受压边缘的应变小于或等于 ϵ_0 , 即

$$\left. \begin{aligned} \epsilon_c &= \chi\Phi \quad \epsilon_0, \quad \epsilon_{c_e} = \chi_1\Phi \quad f_s/E_s, \quad \epsilon_{s_t} = \chi_2\Phi \quad f_s/E_s, \\ \epsilon_{s_{st}} &= \chi_3\Phi \quad f_{ss}/E_{ss}, \quad \epsilon_{s_{sc}} = \chi_4\Phi \quad f_{ss}/E_{ss}. \end{aligned} \right\} \quad (4)$$

由于 $\sum N_i = 0$, 得

$$C_{11} - C_{12} - C_{13} + C_{1s1} + C_{1s2} - T_{11} - T_{12} = 0, \quad (5)$$

式中 $C_{11} = \int_0^x \sigma_{c1} b dx$, $\sigma_{c1} = \sigma_0 [2\chi\Phi/\epsilon_0 - (\chi\Phi/\epsilon_0)^2]$; $C_{12} = \sigma_{c2} A_c$, $\sigma_{c2} = \sigma_0 [2\chi_1\Phi/\epsilon_0 - (\chi_1\Phi/\epsilon_0)^2]$; $C_{13} = \sigma_{c3} A_{fc} + \int_0^{x_4} \sigma_{c4} t_w dx$, $\sigma_{c3} = \sigma_0 [2\chi_4\Phi/\epsilon_0 - (\chi_4\Phi/\epsilon_0)^2]$, $\sigma_{c4} = \sigma_0 [2\chi\Phi/\epsilon_0 - (\chi\Phi/\epsilon_0)^2]$; $C_{1s1} = E_s \chi \Phi A_c$; $C_{1s2} = E_{ss} \chi_4 \Phi A_{fc} + \int_0^{x_4} E_{ss} \chi \Phi t_w dx$; $T_{11} = E_s \chi \Phi A_t$; $T_{12} = \Phi \chi E_{ss} A_{ft}$
 $+ \int_0^{x_3} E_{ss} \chi \Phi t_w dx$ 。

而对中和轴求矩 $\sum M_i = M$, 即

$$M = M_{1cl} - M_{1c2} - M_{1c3} + M_{1cs1} + M_{1cs2} + M_{1t1} + M_{1t2},$$

式中 $M_{1cl} = \int_0^x \sigma_{c1} b x dx$; $M_{1c2} = \sigma_{c2} A_c \chi$; $M_{1c3} = \sigma_{c3} A_{fc} \chi_4 + \int_0^{x_4} \sigma_{c4} t_w x dx$; $M_{1cs1} = E_s \chi^2 \Phi A_c$; $M_{1cs2} = A_{fc} \Phi E_{ss} \chi_4^2 + \int_0^{x_4} \Phi E_{ss} t_w \chi^2 dx$; $M_{1t1} = E_s \chi^2 \Phi A_t$; $M_{1t2} = E_{ss} \Phi \chi_3^2 A_{ft} + \int_0^{x_3} E_{ss} t_w \Phi \chi^2 dx$ 。

2.2 受拉钢筋已屈服, 受拉钢骨翼缘、受压钢筋及受压钢骨翼缘尚未屈服

混凝土受压边缘的应变小于或等于 ϵ_0 , 即

$$\left. \begin{aligned} \epsilon_c &= \chi\Phi \quad \epsilon_0, \quad \epsilon_{c_e} = \chi_1\Phi \quad f_s/E_s, \quad \epsilon_{s_t} = \chi_2\Phi \quad f_s/E_s, \\ \epsilon_{s_{st}} &= \chi_3\Phi \quad f_{ss}/E_{ss}, \quad \epsilon_{s_{sc}} = \chi_4\Phi \quad f_{ss}/E_{ss}. \end{aligned} \right\} \quad (7)$$

同理

$$C_{21} - C_{22} - C_{23} + C_{2s1} + C_{2s2} - T_{21} - T_{22} = 0, \quad (8)$$

式中 $C_{21} = C_{11}$, $C_{22} = C_{12}$, $C_{23} = C_{13}$, $C_{2s1} = C_{1s1}$, $C_{2s2} = C_{1s2}$, $T_{22} = T_{12}$, $T_{21} = f_s A_t$ 。

$$M = M_{2cl} - M_{2c2} - M_{2c3} + M_{2cs1} + M_{2cs2} + M_{2t1} + M_{2t2}, \quad (9)$$

式中 $M_{2cl} = M_{1cl}$, $M_{2c2} = M_{1c2}$, $M_{2c3} = M_{1c3}$, $M_{2cs1} = M_{1cs1}$, $M_{2cs2} = M_{1cs2}$, $M_{2t1} = f_s A_t \chi$, $M_{2t2} = M_{1t2}$ 。

2.3 受拉钢筋、受拉钢骨的翼缘和部分腹板已屈服, 受压钢筋和受压钢骨均未屈服

混凝土受压边缘的应变小于或等于 ϵ_0 , 即

$$\left. \begin{aligned} \epsilon_c &= \chi\Phi \quad \epsilon_0, \quad \epsilon_{c_e} = \chi_1\Phi > f_s/E_s, \quad \epsilon_{s_t} = \chi_2\Phi \quad f_s/E_c, \\ \epsilon_{s_{sc}} &= \chi_4\Phi \quad f_{ss}/E_{ss}, \quad \epsilon_{s_{st}} = \chi_3\Phi > f_{ss}/E_{ss}, \end{aligned} \right\} \quad (10)$$

$$C_{31} - C_{32} - C_{33} + C_{3s1} + C_{3s2} - T_{31} - T_{32} = 0, \quad (11)$$

式中 $C_{31} = C_{11}$, $C_{32} = C_{12}$, $C_{33} = C_{13}$, $C_{3s1} = C_{1s1}$, $C_{3s2} = C_{1s2}$, $T_{31} = T_{21}$, $T_{32} = f_{ss}A_f + \lambda_b t_w f_{ss}$
 $+ \int_0^{x_3-x_5} E_{ss} \lambda \Phi_w dx$.

$$M = M_{3c1} - M_{3c2} - M_{3c3} + M_{3cs1} + M_{3cs2} + M_{3t1} + M_{3t2}, \quad (12)$$

式中 $M_{3c1} = M_{1c1}$, $M_{3c2} = M_{1c2}$, $M_{3c3} = M_{1c3}$, $M_{3cs1} = M_{1cs1}$, $M_{3cs2} = M_{1cs2}$, $M_{3t1} = M_{2t1}$, $M_{3t2} = f_{ss}A_f \lambda_b + \lambda_b t_w f_{ss}(x_3 - x_5/2) + \int_0^{x_3-x_5} E_{ss} \lambda^2 \Phi_w dx$.

2.4 受拉和受压钢筋、受拉钢骨的翼缘和部分腹板已屈服, 受压钢骨未屈服 混凝土受压边缘的应变小于或等于 ϵ_0 . 即

$$\left. \begin{aligned} \epsilon_c &= \lambda \Phi \epsilon_0, & \epsilon_{sc} &= \lambda_1 \Phi > f_s/E_s, & \epsilon_{st} &= \lambda_2 \Phi > f_s/E_s, \\ \epsilon_{ssc} &= \lambda_4 \Phi > f_{ss}/E_{ss}, & \epsilon_{sst} &= \lambda_3 \Phi > f_{ss}/E_{ss}. \end{aligned} \right\} \quad (13)$$

同理

$$C_{41} - C_{42} - C_{43} + C_{4s1} + C_{4s2} - T_{41} - T_{42} = 0, \quad (14)$$

式中 $C_{41} = C_{11}$, $C_{42} = C_{12}$, $C_{43} = C_{13}$, $C_{4s1} = f_s A_c$, $C_{4s2} = C_{1s2}$, $T_{41} = T_{21}$, $T_{42} = T_{32}$.

$$M = M_{4c1} - M_{4c2} - M_{4c3} + M_{4cs1} + M_{4cs2} + M_{4t1} + M_{4t2}, \quad (15)$$

式中 $M_{4c1} = M_{1c1}$, $M_{4c2} = M_{1c2}$, $M_{4c3} = M_{1c3}$, $M_{4cs1} = f_s A_c \lambda_1$, $M_{4cs2} = M_{1cs2}$, $M_{4t1} = M_{2t1}$, $M_{4t2} = M_{3t2}$.

2.5 受拉和受压钢筋、受拉钢骨的翼缘和部分腹板已屈服, 受压钢骨未屈服 混凝土受压边缘的应变大于 ϵ_0 , 小于或等于 ϵ_u . 即

$$\left. \begin{aligned} \epsilon_u &= \lambda \Phi > \epsilon_0, & \epsilon_c &= \lambda_1 \Phi > f_s/E_s, & \epsilon_{st} &= \lambda_2 \Phi > f_s/E_s, \\ \epsilon_{ssc} &= \lambda_4 \Phi > f_{ss}/E_{ss}, & \epsilon_{sst} &= \lambda_3 \Phi > f_{ss}/E_{ss}. \end{aligned} \right\} \quad (16)$$

同理

$$C_{51} - C_{52} - C_{53} + C_{5s1} + C_{5s2} - T_{51} - T_{52} = 0, \quad (17)$$

式中 $C_{51} = \int_0^{\Phi \epsilon_0} \sigma_{c1} b dx + (x - \Phi \epsilon_0) b \sigma_0$, $C_{52} = f_s A_c$, $C_{53} = C_{13}$, $C_{5s1} = C_{4s1}$, $C_{5s2} = C_{1s2}$, $T_{51} = T_{21}$, $T_{52} = T_{42}$.

$$M = M_{5c1} - M_{5c2} - M_{5c3} + M_{5cs1} + M_{5cs2} + M_{5t1} + M_{5t2}, \quad (18)$$

式中 $M_{5c1} = \int_0^{\Phi \epsilon_0} \sigma_{c1} b x dx + \frac{1}{2} (x^2 - \frac{\Phi^2}{\epsilon_0^2}) b \sigma_0$, $M_{5c2} = \sigma_0 A_c \lambda_1$, $M_{5c3} = M_{1c3}$, $M_{5cs1} = M_{4cs1}$, $M_{5cs2} = M_{1cs2}$,

$M_{5t1} = M_{2t1}$, $M_{5t2} = M_{3t2}$

下面介绍上述五种情况的求解步骤.

(1) 用试算法求解, 当 $x_2 \Phi = f_s/E_s$ 时, 满足方程(4), 且方程(5)成立的 x , Φ 值, 并代入方程(6)求解 M 值.

(2) 对满足方程(7)的 x , Φ 进行循环计算, 求解满足方程(8)的 x , Φ 值, 代入方程(9)求解 M 值, 直至 $x_3 \Phi = f_{ss}/E_{ss}$ 为止.

(3) 对满足方程(10)的 x , Φ 进行循环计算, 求解满足方程(11)的 x , Φ 值, 代入方程(12)求解 M 值, 直至 $x_1 \Phi = f_s/E_s$ 为止.

(4) 对满足方程(13)的 x , Φ 进行循环计算, 求解满足方程(14)的 x , Φ 值, 代入方程(15)求解 M 值, 直至 $x_4 \Phi = f_{ss}/E_{ss}$ 或 $x \Phi = \epsilon_u$ 时结束.

(5) 对满足方程(16)的 x, Φ 进行循环计算, 求解满足方程(17)的 x, Φ 值, 代入方程(18)求解 M 值, 直至 $x^4\Phi = f_{ss}/E_{ss}$ 或 $x\Phi = \epsilon_u$ 时结束.

3 计算实例与结果分析

与钢筋混凝土受弯构件相同, 提高混凝土的强度等级, 设置加密箍筋, 增加受压钢筋也能有效地提高劲性钢筋混凝土截面的延性. 本文仅对劲性钢筋混凝土受弯构件, 设置不同形式钢材后的截面 $M-\Phi$ 的变化情况进行分析. 并通过一组相同面积、不同形式钢材截面的 $M-\Phi$ 的计算分析与比较, 得出其延性良好承载能力较高的配钢形式.

算例 主要参数为截面尺寸 $b=250\text{ mm}$, $h=500\text{ mm}$, $a_{st}=a_{sc}=35\text{ mm}$, 钢材总面积 $A_s=8746\text{ mm}^2$, 钢骨 $f_{ss}=235\text{ MPa}$, $E_{ss}=206\times 10^3\text{ MPa}$, 钢筋 $f_s=235\text{ MPa}$, $E_s=210\times 10^3\text{ MPa}$, 混凝土强度等级为 C_{30} , $\sigma_0=20\text{ MPa}$. . 计算结果见附表, 表中 M_y, Φ_y 为钢筋刚屈服时

附表 算例的计算结果表

编号	A_t	A_c	A_{ft}	A_{fc}	$h_t \times t_w$	$M_y \times 10^3$ / MPa	$\Phi_y \times 10^{-6}$ / rad · mm ⁻⁶	$M_u \times 10^3$ / MPa	$\Phi_u \times 10^{-5}$ / rad · mm ⁻¹	Φ_u/Φ_y
L-1	903	903	1 950	1 950	320×9.5	2.516	4.245	3.614	2.401	5.656
L-2	2 853	903	0	1 950	320×9.5	3.073	4.405	3.866	2.401	5.450
L-3	903	2 853	1 950	0	320×9.5	2.679	4.115	3.843	2.377	5.775
L-4	1 403	403	1 950	1 950	320×9.5	2.845	4.450	3.891	1.512	3.330
L-5	1 903	903	1 950	950	320×9.5	3.269	4.785	4.152	1.045	2.184
L-6	903	1 903	950	1 950	320×9.5	2.059	3.820	3.048	3.034	7.942
L-7	2 853	2 853	0	0	320×9.5	3.242	4.262	4.095	2.378	5.580
L-8	4 373	4 373	0	0	0	4.267	4.290	-	-	-
L-9	2 500	3 206	0	0	320×9.5	2.965	4.077	3.877	2.775	6.805
L-10	3 206	2 500	0	0	320×9.5	3.510	4.466	4.301	1.693	3.791
L-11	3 093	3 093	0	0	320×8.0	3.404	4.267	4.191	2.569	6.022
L-12	3 093	3 093	0	0	270×9.5	3.349	4.266	3.349	2.421	5.675

的弯距和曲率, M_u, Φ_u 为混凝土或钢骨翼缘压曲时的极限弯距和极限曲率, 延性系数为 Φ/Φ_y ^[2], $M-\Phi$ 曲线如图4所示.

从上述的计算结果表明: 在相同面积钢材的情况下, 与对称配置钢筋、钢骨的L-1相比, L-2增加受拉钢筋, 减少受拉翼缘, 截面的屈服强度提高了22.14%, 延性降低了3.64%; L-3增加受压钢筋, 减少受压翼缘, 截面的延性提高了2.1%, 屈服强度提高了6.48%. 因此, 在配置钢材时, 应尽量增加受拉和受压钢筋的面积, 减少钢骨翼缘的面积. 但不能取消钢骨的腹板, L-8取消了钢骨的腹板, 截面的屈服强度提高了

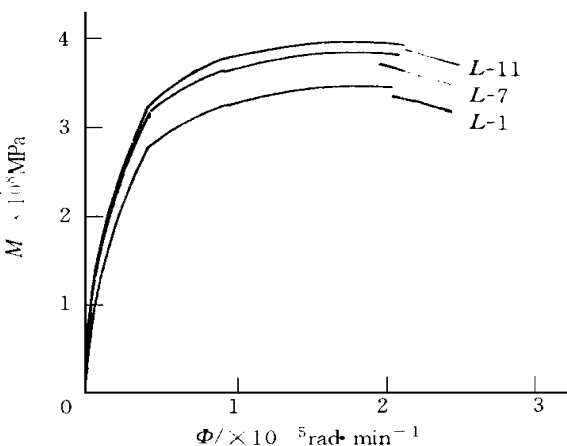


图4 截面弯矩-曲率关系曲线

69.6%，但延性却降低了82.32%，变成了脆性破坏。这是因为没有钢骨的存在，受拉钢筋屈服后，截面不能继续承受荷载。而设置钢骨腹板后，未屈服的腹板还可以继续承受增加的荷载，使截面保持平衡，中和轴继续上升，截面的延性进一步提高。同时，L-11与L-7的计算结果还表明，腹板在保证不产生局部屈曲的前提下，应尽量做得薄些，截面的延性和屈服强度会更高。与L-7相比，L-11的截面延性提高了7.92%，屈服强度提高了5%。从M-Φ的关系曲线得知，劲性钢筋混凝土构件由于钢骨的存在，屈曲后强度仍可提高，这表明它在大震过后，还能继续抵抗余震，具有两道设防功效。

4 结论

综上所述，劲性钢筋混凝土受弯构件的纵向钢筋不仅是箍筋的架立筋，也是主要的受力钢筋，其成本比型钢低；减少钢骨翼缘的面积，更方便于混凝土的浇捣。因此，建议劲性钢筋混凝土受弯构件的受力钢材，仍以钢筋为主。

参 考 文 献

- 1 张惠华,方德平,林雨生. 劲性混凝土受弯构件延性分析. 见: 沈祖炎主编. 1997年上海高层建筑钢结构技术交流会论文集. 上海: 同济大学出版社, 1997. 186~194
- 2 车宏亚. 钢筋混凝土结构原理. 天津: 天津大学出版社, 1990. 102~103

Effect of Different Steel Disposition on the Ductility of Steel Reinforced Concrete Flexural Member

Zhang Huihua

(Dept. of Civil Eng., Huaqiao Univ., 362011, Quanzhou)

Abstract By applying bending moment-curvature method, an analysis is given to the effect of different steel disposition on the ductility of steel reinforced concrete flexural member. By analysing and comparing the section ductility of a set of steel materials with similar area but different forms, the author advances a proposal on the forms of steel disposition which will increase the section ductility of steel reinforced concrete flexural member without significant change of its yield strength.

Keywords steel reinforced concrete, ductility, steel disposition